



## بررسی پارامترهای ترموموہیدرولیکی محفظه ایمنی راکتور در اثر حادثه شکسته شدن شاخه سرد خنک‌کننده

محمدباقر محمدصادقی آزاد<sup>۱\*</sup>، فرزاد چوبدار رحیم<sup>۲</sup>

۱- دانشکده مهندسی مکانیک، دانشگاه شهید مدنی آذربایجان، تبریز، ایران.

۲- دانشکده مهندسی مکانیک، دانشگاه صنعتی ارومیه، ارومیه، ایران.

### تاریخچه داوری:

دریافت: ۱۳۹۸/۰۶/۲۹

بازنگری: ۱۳۹۸/۰۹/۲۲

پذیرش: ۱۳۹۸/۱۱/۰۶

ارائه آنلاین: ۱۳۹۸/۱۱/۱۵

### كلمات کلیدی:

محفظه ایمنی

ترموهیدرولیک

مدل سازی تک حجمی

شکستگی گیوتینی

حالت دوفازی

**خلاصه:** از زمانی که انرژی هسته‌ای به عنوان یک ارگان کاربردی و مفید شناخته شده است در راستای آن مسائل ساختار، عملکرد و ایمنی نیروگاهها و حفاظت محیط زیست نیز حائز اهمیت می‌باشند. سیستم‌های هسته‌ای به دلیل اینکه اگر حادثه‌ای رخ دهد ممکن است مواد رادیواکتیو به محیط زیست نشت پیدا کند و باعث آلودگی محیط زیست گردد، از اهمیت فوق العاده‌ای برخوردار است. در راکتورهای هسته‌ای یکی از خطیرنایترین حوادثی که ممکن است اتفاق بیفتد حادثه از دست دادن خنک‌کننده می‌باشد که مهمترین این حوادث شکسته شدن گیوتینی شاخه خنک‌کننده سرد یا گرم می‌باشد که در صورت مهار نشدن آن منجر به ذوب قلب راکتور می‌گردد. در این مقاله شکستگی گیوتینی که در شاخه سرد خنک‌کننده یک راکتور آب تحت فشار اتفاق می‌افتد مدل سازی شده است. در مدل سازی انجام شده محفظه ایمنی به صورت تک حجمی در نظر گرفته شده است و معادلات بنای جرم و انرژی مربوط به آن نوشته شده و تاثیر انتقال حرارت و میزان بر روی آن بررسی شده است. لازم به توضیح است که مدل سازی با نرم افزار متلب ۲۰۱۶ انجام شده است. نمودارهای تغییرات فشار، دما، کیفیت و انتقال حرارت با زمان ترسیم گردیده و سپس نتایج به دست آمده با نتایج موجود مقایسه شده است.

### ۱- مقدمه

می‌کند، به عبارت دیگر چون هوای درون آن ممکن است آلوده به مواد رادیواکتیو باشد قدرت نفوذ به خارج را ندارد. و همچنین لایه استیلی محفظه جدا از لایه بتونی است و لایه بتونی جهت حفظ محفظه از آسیب‌های ناشی از برخورد موشک و هوایی‌ما تعییه گردیده است. در ایالات متحده امریکا طراحی محفظه‌های ایمنی در راکتورهای این کشور انجام می‌شود. سیستم محفظه‌های ایمنی در راکتورهای قدرت معمولاً بوسیله اندازه، شکل، مواد استفاده شده در ساختار محفظه و سیستم‌های حمایتی در هنگام حوادث مشخص می‌شوند. نوع محفظه برای راکتورها با توجه به نوع راکتور، تولیدات راکتور و نیازهای ضروری نیروگاه تعیین می‌گردد. سیستم‌های حمایتی موردن استفاده در موقع حادثه در تعیین اندازه راکتور بسیار مهم می‌باشند. راکتور ای‌پی<sup>۱</sup> ۱۰۰۰<sup>۲</sup> یک راکتور آب تحت فشار<sup>۳</sup> با قدرت ۱۰۰۰ مگاوات‌الکتریکی با دو حلقه تنظیم فشار می‌باشد، که این راکتور مجهز به سیستم‌های ایمنی خود کار (یعنی سیستم‌هایی که بدون

در حالت کلی در سیستم راکتورها، وجود شکاف در یکی از این سه سیستم زیر باعث نشت مواد رادیواکتیو به محیط زیست می‌گردد: ۱) پوشش سوخت (غلاف) ۲) سیستم خنک‌کننده ۳) محفظه ایمنی<sup>۱</sup>. بنابراین این سیستم‌ها در راکتورها بسیار حائز اهمیت می‌باشند و کوچکترین خطا و خرابی در این سیستم‌ها می‌تواند منجر به حادثه گردد. محفظه ایمنی یک حفاظتی است که معمولاً از جنس استیل یا بتون مسلح شده می‌باشد، این حفاظت را در اطراف راکتورها قرار می‌دهند که در موقع حادثه مانع از خروج مواد رادیواکتیو به خارج از راکتور و آلودگی محیط زیست گردد. معمولاً هر محفظه ایمنی دارای یک فشار طراحی می‌باشد که نباید فشار محیط درون محفظه از این فشار بیشتر گردد. محدوده این فشار طراحی معمولاً بین ۴۱۰ کیلوپاسکال تا ۱۴۰۰ کیلوپاسکال می‌باشد. این محفظه طوری ساخته شده است که هوای درون محفظه را کاملاً از هوای بیرون جدا

### 1 Containment

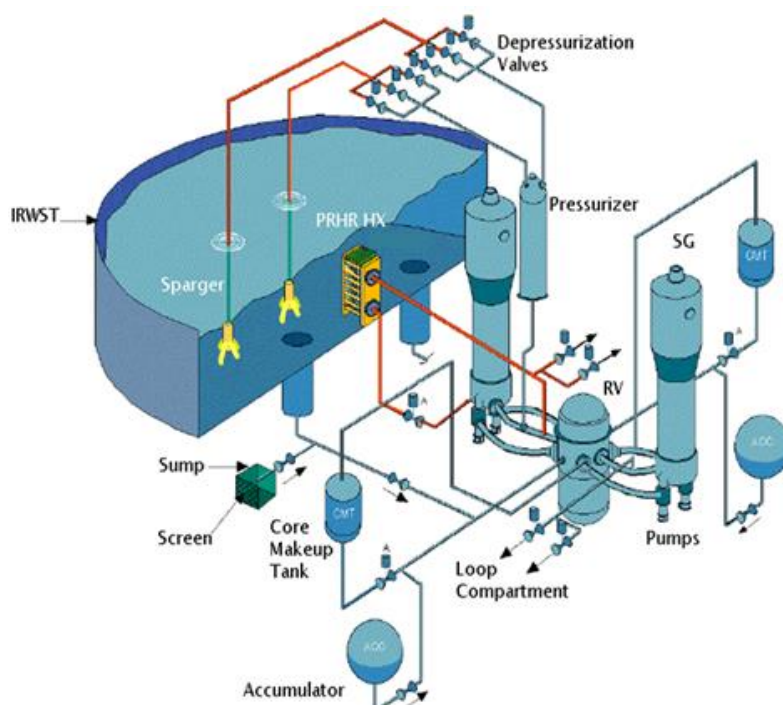
\* نویسنده عهدهدار مکاتبات: m.sadeghiazad@azaruniv.ac.ir

2 Advanced Pressurized (AP) 1000

3 Pressurized Water Reactor (PWR)

حقوق مؤلفین به نویسنده‌گان و حقوق ناشر به انتشارات دانشگاه امیرکبیر داده شده است. این مقاله تحت لیسانس آفرینندگی مردمی (Creative Commons License) در دسترس شما قرار گرفته است. برای جزئیات این لیسانس، از آدرس <https://www.creativecommons.org/licenses/by-nc/4.0/legalcode> دیدن فرمائید.





**Fig. 1. Passive AP1000 reactor core cooling system**

شکل ۱: سیستم‌های خودکار خنک‌کننده راکتور و قلب راکتور ای‌پی ۱۰۰۰ [۱]

در شکل ۱ اجزای تشکیل دهنده سیستم‌های خنک‌کننده راکتور و قلب راکتور ای‌پی ۱۰۰۰ نشان داده شده است. اجزاء اصلی خودکار خنک‌کننده محفظه ایمنی شامل مواد زیر می‌باشند (شکل ۲):

آب انبارهای خودکار خنک‌کننده محفظه ایمنی

سیستم‌های توزیع آب

تیغه هوا

ورودی‌ها و خروجی‌های هوا

آب انبارهای خودکار خنک‌کننده محفظه ایمنی در بخش بالای محفظه ایمنی قرار دارد که با آب غیرمعدنی با حجم کم که برای خنک‌کاری محفظه ایمنی در نظر گرفته شده‌اند پر شده است و همچنین از آب انبارهای خودکار خنک‌کننده برای تامین آب جبرانی<sup>۱</sup> برای استخراج سوخت‌های مصرف شده استفاده می‌گردد در موقع بروز حوادث از جمله آتش سوزی نیز می‌توان از آب این انبارهای استفاده کرد. برای کنترل میزان سطح آب انبارهای در هر چهار لوله خروجی آب اریفیس‌های کنترل جریان در ارتفاع‌های متفاوتی نصب شده‌اند همچنین مسیری برای توزیع آب بر روی سطح خارجی بخش

برق کار می‌کنند آب انبارهای که در اثر اختلاف فشار تخلیه می‌شوند) و الکترونیکی (همانند پمپ خنک‌کننده و دیزل ژنراتورها ...) می‌باشد.

#### ۱-۱- سیستم‌های ایمنی وابسته راکتور ای‌پی ۱۰۰۰:

سیستم‌های خنک‌کننده قلب

سیستم‌های خنک‌کننده محفظه ایمنی

اتاق کنترل اضطراری

ایزوله کردن محفظه ایمنی

#### ۱-۲- سیستم‌های خنک‌کننده قلب:

وظیفه این سیستم محافظت نیروگاه در برابر هر گونه نشتی و گسیختگی که با اندازه‌های متفاوت در سیستم‌های خنک‌کننده راکتور ایجاد می‌شود، می‌باشد. سیستم‌های خنک‌کننده قلب راکتور امنیت بخش‌های زیر را تامین می‌کند:

برداشت حرارت مانده در قلب راکتور

تزریق ایمنی

تغییرات ناگهانی فشار

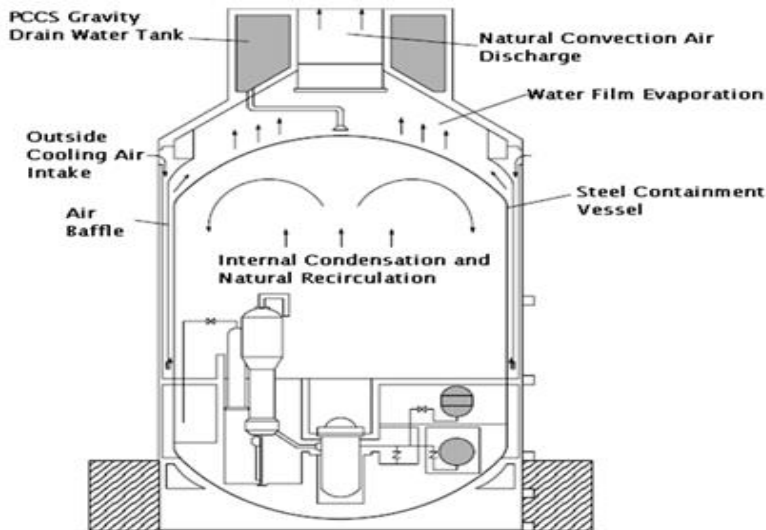


Fig. 2. AP1000 reactor safety containment passive cooling system

شکل ۲: سیستم خنک کننده خودکار محفظه ایمنی راکتور ای پی ۱۰۰۰ [۲]

[۷]، آنالیز نشتی در سیستم خنک کنندگی راکتور قدرت ای پی ۱۰۰۰ [۸]، شبیه‌سازی تغییرات فشار محفظه ایمنی راکتور نیروگاه هسته‌ای بوشهر در اثر حادثه از دست دادن خنک کننده با استفاده از مدل‌سازی تک و چند حجمی توسط کد کانتین [۹]، در کل حادثه از دست دادن خنک کننده با توجه به میزان شکستکی لوله مدار خنک (لوله شاخه سرد و یا گرم) به چند نوع تقسیم می‌شود:

شکست گیوتینی لوله خنک کننده شاخه سرد  
شکست گیوتینی لوله خنک کننده شاخه گرم

شکست کوچک  
شکست بزرگ

## ۲- مدل‌سازی‌های مختلف حادثه از دست دادن خنک کننده در محفظه ایمنی:

روش‌های مختلفی برای مدل‌سازی حادثه از دست دادن خنک کننده در محفظه ایمنی وجود دارد که عبارتند از:

مدل‌سازی تک حجمی محفظه ایمنی  
مدل‌سازی چند حجمی محفظه ایمنی

در مدل‌سازی تک حجمی کل محفظه ایمنی به صورت یک حجم با فشار و دما و خواص ترمودینامیکی ثابت در هر بازه زمانی فرض می‌شود. ولی در حالت چند حجمی محفظه را به چند حجم تقسیم بنده می‌کنند که در ابتدا فشار و دما در تمام حجم‌ها دارای مقادیر ثابت می‌باشند. به محض بروز حادثه فشار و دما در حجم‌ها باهم

گنبدی بالای محفظه ایمنی ایجاد شده است که در موقع حوادث آب اضافی این آب انبارهای و سیستم‌های کمکی بر روی این بخش گنبدی ریخته می‌شود. جهت توزیع بهتر آب در بخش گنبدی شکل محفظه، در این بخش شیارهایی روی آن در نظر گرفته شده است. همچنین صفحه‌های عمودی به صورت شعاعی در بخش گنبدی محفظه برای جلوگیری از زود سریز شدن آب تعییه شده‌اند [۳]. در شکل ۲ بخش ورودی هوا و ساختار حفاظت بتنی راکتور ای پی ۱۰۰۰ نشان داده شده است.

به دلیل اهمیت مسئله ایمنی در نیروگاه‌های هسته‌ای باید در طراحی نیروگاه‌ها آنالیز حوادث صورت گیرد یکی از مهمترین حوادثی که باید مورد بررسی قرار گیرد حادثه از دست دادن خنک کننده<sup>۱</sup> می‌باشد که در این زمینه تحقیقات و مطالعات زیادی تا به حال صورت گرفته است از جمله بررسی شبیه‌سازی عددی حادثه از دست دادن خنک کننده در اثر شکستگی بزرگ<sup>۲</sup> برای راکتور ای پی ۱۰۰۰ توسط کد محاسباتی ریلپ<sup>۴</sup> [۴]، شبیه‌سازی حادثه از دست دادن خنک کننده در اثر شکستگی کوچک<sup>۳</sup> راکتور ای پی ۱۰۰۰ با استفاده از کد ریلپ<sup>۵</sup> و مقایسه نتایج با کد نوتراomp<sup>۵</sup> [۵]، آنالیز ترمومهیدرولیکی و تنشی محفظه ایمنی راکتور ای پی ۱۰۰۰ در طی حادثه از دست دادن خنک کننده با خنک کنندگی حالت خشک [۶]، آنالیز و شبیه‌سازی شکستگی ۱۰ اینچی در شاخه سرد خنک کننده راکتور ای پی ۱۰۰۰

1 Loss Of Coolant Accident (LOCA)

2 Large Break Lose Of Coolant Accident (LBLOCA)

3 Small Break Lose Of Coolant Accident (SBLOCA)

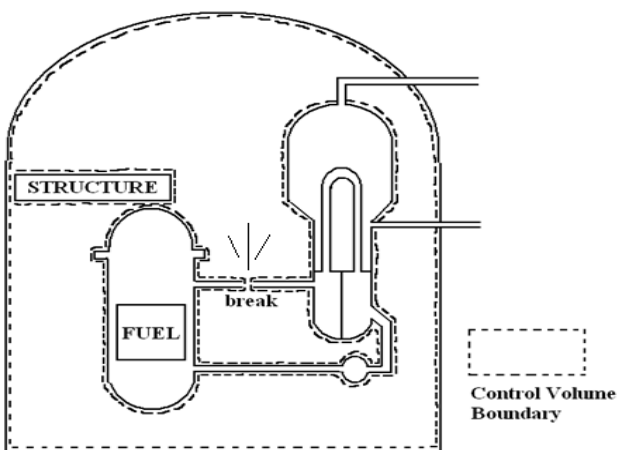


Fig. 3. Control volume system

شکل ۳: حالت کنترل حجم [۱۰]

که در این رابطه  $\dot{Q}_{wc_1-a}$ : انتقال حرارت از آب اولیه موجود در محفظه به هوا موجود در محفظه،  $\dot{Q}_{wpd-a}$  حرارت منتقل شده از آب تخلیه شده به محفظه به هوا داخل محفظه،  $\dot{Q}_{a-st}$  حرارت منتقل شده از هوا داخل محفظه به بدن محفظه،  $p_T$  فشار کل محفظه و  $\frac{dV_a}{dt}$  تغییرات حجم هوا داخل محفظه با زمان که برابر صفر است می‌باشد.

$$\frac{d(m_{wc_1} u_{wc_1})}{dt} = \dot{Q}_{wpd-wc_1} - \dot{Q}_{wc_1-a} - \dot{Q}_{wc_1-st} - p_T \frac{dV_{wc_1}}{dt} \quad (2)$$

که در رابطه (۲) انتقال حرارت از آب تخلیه شده به محفظه به آب اولیه موجود در محفظه،  $\dot{Q}_{wc_1-st}$  حرارت منتقل شده از آب اولیه موجود در محفظه به بدن محفظه،  $p_T$  فشار کل محفظه و  $\frac{dV_{wc_1}}{dt}$  تغییرات حجم آب اولیه داخل محفظه با زمان که برابر صفر است، می‌باشد.

$$\frac{d(m_{wpd} u_{wpd})}{dt} = \dot{Q}_{wpr-wpd} - \dot{Q}_{wpd-wc_1} - \dot{Q}_{wpd-a} - \dot{Q}_{wpd-st} - p_T \frac{dV_{wpd}}{dt} \quad (3)$$

که در رابطه (۳) انتقال حرارت از آب باقی مانده در لوله خنک‌کننده شاخه سرد<sup>۱</sup> به آب تخلیه شده به محفظه،  $\dot{Q}_{wpd-st}$  حرارت منتقل شده آب تخلیه شده به محفظه به بدن محفظه،  $p_T$  فشار کل محفظه و  $\frac{dV_{wpd}}{dt}$  تغییرات حجم آب تخلیه شده به محفظه با زمان

متفاوت می‌شوند و برای مدل‌سازی باید روابط موجود در حجمها بصورت جداگانه نوشته شود. در این مقاله مدل‌سازی انجام شده به صورت تک‌حجمی صورت گرفته است.

## ۱-۲- معادلات حاکم برای مدل‌سازی محفظه ایمنی در حالت تک‌حجمی:

در راکتورهای آب سبک با وارد شدن آب خنک‌کننده سیستم‌های اولیه یا ثانویه به داخل محفظه ایمنی که در اثر شکستگی لوله‌های مربوط به آن‌ها ممکن است اتفاق بیافتد باعث ایجاد تغییر فشار در فضای داخل محفظه ایمنی می‌گردد. که پیک فشار، و زمان رسیدن به این پیک در طراحی این نوع راکتورها حائز اهمیت می‌باشد.

در اثر شکستن لوله خنک‌کننده، فرایند دو فازی آب وارد شده به محفظه ایمنی شروع می‌گردد و در نهایت ترکیب آب و هوا موجود باقی مانده در محفظه وابسته به عوامل زیر می‌باشند: به شرایط ترمودینامیکی اولیه و جرم آب موجود در هوا داخل محفظه

شرایط و میزان هوا موجود در داخل محفظه ایمنی به دلی جرمی آب ورودی به محفظه و وجود چشممه و چاه گرمایی

احتمال وجود واکنش‌های شیمیایی گومزا و پاپاشی گرمایی قلب راکتور حال با استفاده از تقریب کنترل حجم به مدل‌سازی تک‌حجمی محفوظه ایمنی می‌پردازم.

با توجه به شکل ۳ به محض ترکیدن لوله‌ی آب خنک‌کننده، آب موجود در داخل مدار اولیه با فشار زیاد وارد محفظه ایمنی می‌گردد، که در طول زمان حجم کنترل ثابت می‌ماند. در این مدل‌سازی کل محفوظه را به صورت یک حجم با یک فشار و دما در نظر گرفته می‌شود. در تحلیل زمانی از قانون اول ترمودینامیک در چهار زیر مجموعه شامل هوازی محفوظه، بخار آب اولیه موجود در محفوظه، آب ورودی از سیستم مدار اولیه به داخل محفوظه و آب باقی‌مانده در محفوظه به شرح زیر استفاده می‌کنیم [۱۰]:

$$\frac{d(m_a u_a)}{dt} = \dot{Q}_{wc_1-a} + \dot{Q}_{wpd-a} - \dot{Q}_{a-st} - p_T \frac{dV_a}{dt} \quad (1)$$

می‌باشد.

چون مدل‌سازی بر اساس کنترل حجم می‌باشد در نتیجه حجم ثابت می‌باشد و در نتیجه کار در این مدل‌سازی برابر با صفر می‌باشد و بنابراین داریم:

$$\dot{U}_{c.v.}^t = \dot{m}(t)h_p(t) + \dot{Q}_{wpr-c} - \dot{Q}_{c-st} \quad (10)$$

با انتگرال گیری از زمان  $t$  تا  $t+\Delta t$  داریم:

$$U^{t+\Delta t} - U^t = + \int_t^{t+\Delta t} h_p(t) \dot{m}(t) dt + Q_{wpr-c}^{t+\Delta t} - Q_{c-st}^{t+\Delta t} \quad (11)$$

با ادامه روش کنترل حجم داریم:

$$U^{t+\Delta t} = m_a u_a^{t+\Delta t} + (m_{wc}^t + m_{wpd}^{t+\Delta t}) u_{wc}^{t+\Delta t}$$

$$U^t = m_a u_a^t + m_{wc}^t u_{wc}^t$$

از رابطه (11) نتیجه می‌شود که:

$$m_a u_a^{t+\Delta t} + (m_{wc}^t + m_{wpd}^{t+\Delta t}) u_{wc}^{t+\Delta t} = m_a u_a^t + m_{wc}^t u_{wc}^t + \int_t^{t+\Delta t} h_p(t) \dot{m}(t) dt + Q_{wpr-c}^{t+\Delta t} - Q_{c-st}^{t+\Delta t} \quad (12)$$

با استفاده از رابطه (12) می‌توان شرایط محفظه اینمی را محاسبه کرد. در ابتدا به محاسبه دبی جرمی خروجی و آنتالپی مربوط به آن از سیستم اولیه می‌پردازیم که در این مدل‌سازی  $Q_{wpr-c}$  انتقال حرارت از آب باقی مانده در مدار اولیه به محفظه را صفر فرض کرده‌ایم، و  $Q_{c-st}$  انتقال حرارت از محفظه به محیط بیرون می‌باشد.

رابطه (8) را می‌توان به صورت زیر نوشت:

$$U^{t+\Delta t} - U^t = Q_{n-wpr}^{t+\Delta t} - \sum_i Q_{i-st}^{t+\Delta t} \quad (13)$$

که

$$U^{t+\Delta t} = m_a u_a^{t+\Delta t} + (m_{wc}^t + m_{wp}^t) u_{wc}^{t+\Delta t}$$

$$U^t = m_a u_a^t + m_{wc}^t u_{wc}^t + m_{wp}^t u_{wp}^t$$

با بسط دادن رابطه (13) به معادله زیر می‌رسیم:

$$m_w (u_w^{t+\Delta t} - u_w^t) + m_a c_{va} (T^{t+\Delta t} - T_a^t) = Q_{n-wpr}^{t+\Delta t} - Q_{c-st}^{t+\Delta t} \quad (14)$$

$$\frac{d(m_{wpt} u_{wpr})}{dt} = \dot{Q}_{n-wpr} - \dot{Q}_{wpr-wpd} - p_T \frac{dV_{wpr}}{dt} \quad (4)$$

که در رابطه (4)  $\dot{Q}_{n-wpr}$  انتقال حرارت از سوخت به آب باقی مانده در لوله شاخه سرد،  $p_T$  فشار کل محفظه و  $\frac{dV_{wpr}}{dt}$  تغییرات

حجم آب باقی مانده در لوله شاخه سرد با زمان می‌باشد.

و در نهایت با ترکیب ۴ رابطه بالا به رابطه زیر می‌رسیم:

$$\begin{aligned} & \frac{d(m_a u_a + m_{wc_1} u_{wc_1} + m_{wpd} u_{wpd} + m_{wpr} u_{wpr})}{dt} \\ &= \dot{Q}_{n-wpr} - \sum_i \dot{Q}_{i-st} + P_T \frac{d(V_a + V_{wc_1} + V_{wpd} + V_{wpr})}{dt} \end{aligned} \quad (5)$$

با توجه به اینکه تغییرات حجمی در زمان به علت ثابت بودن حجم صفر می‌باشد، در نتیجه داریم:

$$\frac{d(V_a + V_{wc_1} + V_{wpd} + V_{wpr})}{dt} = 0 \quad (6)$$

در نتیجه رابطه (5) را می‌توان به صورت زیر نوشت:

$$\frac{d(m_a u_a + m_{wc} u_{wc} + m_{wpd} u_{wpd} + m_{wpr} u_{wpr})}{dt} = \dot{Q}_{n-wpr} - \sum_i \dot{Q}_{i-st} \quad (7)$$

با انتگرالگیری از رابطه (7) از زمان  $t$  تا زمان  $t+\Delta t$  معادله زیر

به دست می‌آید:

$$U^{t+\Delta t} - U^t = Q_{n-wpr}^{t+\Delta t} - \sum_i Q_{i-st}^{t+\Delta t} \quad (8)$$

که

$$U^{t+\Delta t} = m_a u_a^{t+\Delta t} + (m_{wc}^t + m_{wpd}^{t+\Delta t}) u_{wc}^{t+\Delta t} + m_{wpr}^{t+\Delta t} u_{wp}^{t+\Delta t}$$

$$U^t = m_a u_a^t + m_{wc}^t u_{wc}^t + m_{wpd}^t u_{wp}^t$$

و جرم خارج شده از مدار اولیه  $m_{wpd}^{t+\Delta t}$  از رابطه زیر قابل محاسبه

می‌باشد:

$$m_{wpd}^{t+\Delta t} = m_{wpd}^t + \int_t^{t+\Delta t} \dot{m}(t) dt \quad (9)$$

رابطه (۱۴) را می‌توان به صورت جداگانه برای آب خارج شده از مدار اولیه و آب موجود در هوا به صورت زیر نوشت:

فشار جزئی بخار آب از رابطه زیر محاسبه می‌گردد:

$$p_{wa}^t = \varphi^t p_{sat}(T_a^t) \quad (۲۰)$$

بنابراین با استفاده از قانون دالتون برای فشارهای جزئی داریم:

$$p_a^t = p^t - p_{wa}^t \quad (۲۱)$$

با استفاده از قانون گاز کامل داریم:

$$m_a = \frac{p_a^0 V_c}{R_a T_a^0} \quad (۲۲)$$

از معادله زیر جرم اولیه آب موجود در محفظه محاسبه می‌گردد:

$$m_{wa}^0 = \frac{V_c}{V_{wa}^0} \quad (۲۳)$$

و حجم آب خارج شده از سیستم اولیه به داخل محفظه از رابطه زیر محاسبه می‌گردد:

$$V_{wpd}^t = m_{wpd}^t V_{wpd}^t \quad (۲۴)$$

که جرم کلی آب داخل محفظه از رابطه زیر محاسبه می‌گردد:

$$m_w^{t+\Delta t} = \sum_{t=1}^{t+\Delta t} m_{wpd}^t + m_{wa}^0 \quad (۲۵)$$

حالا تمام پارامترهای مجھول مربوط به  $T^{t+\Delta t}$  می‌باشند بنابراین با حدس زدن این پارامتر می‌توان تمام متغیرهای مجھول را تعیین کرد و سپس دو رابطه موجود برای کیفیت را با هم مقایسه می‌کنیم اگر این دو رابطه با هم برابر و یا نزدیک به هم باشند در نتیجه مقدار حدسی درست بوده و سپس فشار اشباع را از جدول اشباع می‌خوانیم  $p_w^{t+\Delta t} = f_{sat}(T^{t+\Delta t})$  در نتیجه فشار هوا و فشار کل از رابطه زیر به دست می‌آیند:

که  $Q^{t+\Delta t}$  به وسیله جرم خروجی از مدار اولیه تولید می‌گردد و از رابطه زیر محاسبه می‌گردد:

$$Q^{t+\Delta t} = \dot{m}_{wpd}^{t+\Delta t} h^{t+\Delta t} \Delta t$$

از قانون دالتون برای فشارهای جزئی داریم:

$$p^{t+\Delta t} = p_w^{t+\Gamma t} (T^{t+\Delta t}) + p_a^{t+\Delta t} \quad (۲۶)$$

که

$p_a^{t+\Delta t}$  فشار کل،  $p_w^{t+\Delta t}$  فشار در دمای اشباع و  $p^{t+\Delta t}$  فشار هوا می‌باشند.

حجم کل اشغال شده توسط هر ترکیب را می‌توان از رابطه زیر محاسبه کرد:

$$V_T^{t+\Delta t} = m_w^{t+\Delta t} V_w^{t+\Delta t} (T_{sat}^{t+\Delta t}) \cong m_a V_a (T^{t+\Delta t}, p_a^{t+\Delta t}) \quad (۲۷)$$

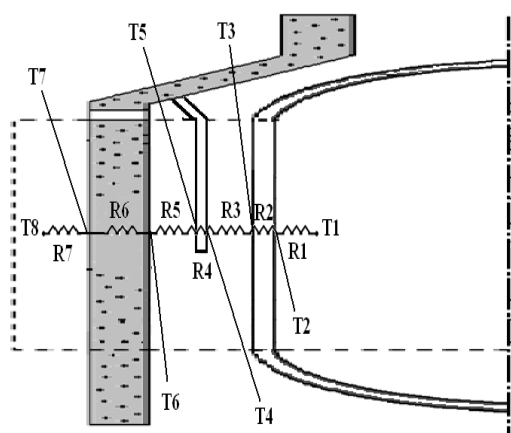
با تعریف کیفیت (ترکیب بخار و آب) می‌توان رابطه بالا به صورت زیر نوشت:

$$V_T^{t+\Delta t} = m_w^{t+\Delta t} \left[ v_f^{t+\Delta t} + x_{st2} v_{fg}^{t+\Delta t} (T_{sat}^{t+\Delta t}) \right] \cong \frac{m_a R_a T^{t+\Delta t}}{p_a^{t+\Delta t}} \quad (۲۸)$$

از رابطه (۲۸) داریم:

$$x_{st2} = \frac{\frac{V_T^{t+\Delta t}}{m_w^{t+\Delta t}} - v_f^{t+\Delta t}}{v_{fg}^{t+\Delta t}} \quad (۲۹)$$

که



**Fig. 4. Multilayer heat resistors**  
شکل ۴: مقاومت‌های گرمایی چندلایه‌ای

هو ،  $A_{\text{InnerAirBaffle}}$  مساحت دیواره داخلی بافل هو ،  $h_{\text{gap}}$  ضریب جابجایی دانکامر ،  $A_{\text{OuterAirBaffle}}$  مساحت دیواره خارجی بافل هو ،  $K_{\text{Conc}}$  ضریب هدایتی رسانشی دیواره بختم دیواره بتنی ،  $\delta_x$  ضخامت دیواره بختم ،  $A_{\text{Conc}}$  مساحت بتن ،  $h_{\text{amb}}$  ضریب جابجایی محیط خارج و بختم ،  $A_{\text{OuterCont}}$  مساحت خارجی دیواره بیرونی محفظه می‌باشدند. در جدول ۱ ابعاد لایه‌های مختلف محفظه اینمی راکتور ای پی ۱۰۰۰ جهت محاسبه انتقال حرارت نشان داده شده است.

روش محاسبه دمای دیواره‌ها به این صورت می‌باشد که در ابتدا برای دمای دیواره بیرونی محفظه دمایی حدس می‌زنیم و با استفاده از روابط زیر محاسبات انتقال حرارت از داخل محفظه به محیط بیرون محاسبه می‌گردد:

$$Q_1 = h_{\text{amb}} A_{\text{amb}} (T_o - T_i) \quad (28)$$

که در این رابطه  $A_{\text{amb}}$  مساحت بیرونی بتن و  $h_{\text{amb}}$  ضریب

$$p_a^{t+\Delta t} = \frac{m_a R_a T^{t+\Delta t}}{V_T^{t+\Delta t}}, p^{t+\Delta t} = p_w^{t+\Delta t} + p_a^{t+\Delta t} \quad (26)$$

### ۳- معادلات حاکم در انتقال حرارت از محفظه اینمی:

در این بخش معادلات انتقال حرارت استفاده شده در مدل‌سازی توضیح داده شده است. در شکل ۴ مقاومت‌های گرمایی موجود از داخل محفظه اینمی تا محیط بیرون نشان داده شده است [۱۱]. همانطور که از شکل ۲ معلوم می‌باشد هو از بخش بالای دیواره بختم پایینی بافل هو عبور کرده و از روی دیواره بخشنده استیلی محفظه اینمی حرارت را برداشت کرده و در نهایت از بالای محفظه به محیط بیرون تخلیه می‌گردد. در دو سمت بافل هو از ضریب انتقال حرارت جابجایی و در بخش‌های بختم، استیلی و بافل هو از ضریب انتقال حرارت هدایتی استفاده شده است.

$$\begin{aligned} R_1 &= \frac{1}{h_{\text{Cont}} A_{\text{InnerCont}}}, R_2 = \frac{\delta_{x2}}{K_{\text{Cont}} A_{\text{InnerCont}}} \\ R_3 &= \frac{1}{h_{\text{gap2}} A_{\text{OuterCont}}}, R_4 = \frac{\delta_{x1}}{K_{\text{AirBaffle}} A_{\text{InnerAirBaffle}}} \\ R_5 &= \frac{1}{h_{\text{gap1}} A_{\text{OuterAirBaffle}}}, R_6 = \frac{\delta_{x0}}{K_{\text{Conc}} A_{\text{Conc}}}, \\ R_7 &= \frac{1}{h_{\text{amb}} A_{\text{amb}}} \end{aligned} \quad (27)$$

که در روابط بالا  $R_7$  مقاومت‌های حرارتی،  $h_{\text{Cont}}$  ضریب جابجایی داخل محفظه،  $A_{\text{InnerCont}}$  مساحت داخلی محفظه،  $\delta_{x2}$  ضخامت بخشنده دیواره داخلی محفظه،  $K_{\text{Cont}}$  ضریب هدایتی رسانشی Riser،  $A_{\text{OuterCont}}$  ضریب جابجایی  $h_{\text{gap2}}$  مساحت خارجی دیواره داخلی محفظه (بخشنده استیل)،  $\delta_{x1}$  مساحت خارجی دیواره داخلی محفوظه (بخشنده کربن استیل)،  $R_5$  ضخامت بخشنده بافل هو ،  $K_{\text{AirBaffle}}$  ضریب هدایتی رسانشی بافل

جدول ۱: خصوصیات هندسی جداره‌های بیرونی محفظه اینمی [۱۳]

Table 1. Geometric properties of the outer walls of the safety containment

بخش حفاظ	۱ گپ	بافل هو	۲ گپ	محفظه	پارامتر
۲۱/۱۳۲	-	-	-	۱۹/۸۱۲	شعاع (m)
بتن	هو	استیل ضد زنگ	هو	کربن استیل	جنس
$\delta_{x0} = ۰/۹۱۴۴$	$\delta_{gap1} = ۰/۶۵۶۱$	$\delta_{x1} = ۰/۰۱۵$	$\delta_{gap2} = ۰/۶۵۶۱$	$\delta_{x2} = ۰/۰۴۴۴$	ضخامت (m)

که در این رابطه  $K_i$  ضریب هدایت رسانشی ماده  $i$  طول محفظه ایمنی،  $r_{i+1}$  شعاع خارجی و  $r_i$  شعاع داخلی بخش مورد نظر (بتن، بافل هوا و دیواره استیلی محفظه ایمنی) می‌باشد. دمای گپ ۱ و گپ ۲ را از رابطه زیر محاسبه می‌کنیم:

$$T_{gap} = T_i + \left( \frac{Q}{2\pi\delta l h_{gap}} \right) \quad (35)$$

که در این رابطه  $\delta_{gap}$  ضخامت دانکامر،  $h_{gap}$  ضریب جابجایی دانکامر می‌باشد. ضریب جابجایی محیط داخل محفظه ایمنی برای میان گاز از رابطه زیر محاسبه می‌گردد [۱۲]:

$$h_{Cont} = 0.943 \left( \frac{9.8 \frac{1}{v_f} \left( \frac{1}{v_f} - \frac{1}{v_g} \right) K_f^3 h_{fg1}}{\mu_f (T_{sat} - T_{wall}) l} \right)^{0.25} \quad (36)$$

$$h_{fg1} = h_{fg} + 0.68 C_{pf} (T_{sat} - T_{wall}) \quad (37)$$

که در روابط بالا  $C_{pf}$ ،  $v_f$ ،  $v_g$ ،  $K_f$ ،  $\mu_f$ ،  $h_{fg}$  به ترتیب حجم مخصوص مایع، حجم مخصوص بخار، ضریب هدایتی مایع، ضریب ویسکوزیته مایع، آنتالپی اشباع آب و ظرفیت گرمایی مایع می‌باشند. و همچنین برای محاسبه دمای دیواره داخلی محفظه ایمنی از رابطه زیر استفاده گردیده است:

$$T_{wall} = T_{sat} - \left( \frac{Q}{2\pi l h_{Cont} r_1} \right) \quad (38)$$

که در این رابطه  $r_1$  شعاع داخلی محفظه استیلی راکتور می‌باشد.

که

$$q_{cond} = A h_{cont} (T_{sat} - T_{wall}) \quad (39)$$

که در کل داریم:

جابجایی محیط بیرون می‌باشد.

برای محاسبه ضریب جابجایی محیط بیرون و گپ ۱ و گپ ۲ از رابطه زیر استفاده گردیده است:

$$h = \frac{Nu_l K}{l} \quad (40)$$

$$\overline{Nu}_l = \left\{ 0.825 + \frac{0.387 Ra_l^{\frac{1}{6}}}{\left[ 1 + \left( \frac{0.492}{Pr} \right)^{\frac{9}{16}} \right]^{\frac{8}{27}}} \right\}^2 \quad (40)$$

$$Gr_l = \frac{g(T_s - T_{\infty}) l^3}{T \nu^2} \quad (41)$$

$$Ra_l = Gr_l Pr \quad (42)$$

$$h = \frac{\left\{ 0.825 + \frac{0.387 \left( \frac{g(T_s - T_{\infty}) l^3}{T \nu^2} Pr \right)^{\frac{1}{6}}}{\left[ 1 + \left( \frac{0.492}{Pr} \right)^{\frac{9}{16}} \right]^{\frac{8}{27}}} \right\}^2 K}{l} \quad (43)$$

که در این روابط  $G_r$  عدد گراشف،  $R_{al}$  عدد رایلی،  $P_r$  عدد پرانتل،  $N \bar{u}_l$  عدد ناسلت می‌باشد [۹].

دمای دیواره‌های داخلی بتن، بافل هوا و دیواره استیلی محفظه ایمنی از رابطه زیر محاسبه می‌گردد [۱۱]:

$$T_o = T_i + \left( \frac{Q \ln \left( \frac{r_{i+1}}{r_i} \right)}{2\pi K_i l r_{i+1}} \right) \quad (44)$$

#### ۴- نتایج و بحث

مقادیر اولیه و ابعاد هندسی محفظه ایمنی راکتور در جدول ۲ داده شده است.

در این قسمت نتایج حاصل از مدل سازی با فرض تک حجمی بودن محفظه آورده شده است که در زیر نمودارهای تغییرات دبی جرمی، توزیع انترگالی جرم و انرژی، تغییرات فشار و دما و کیفیت با زمان نشان داده شده است. همانطور که در شکل های ۵ و ۶ نشان داده شده است در لحظه شکسته شدن لوله خنک کننده با توجه به اینکه آب درون لوله در حالت فاز مایع با فشار بسیار بالا قرار دارد تقریباً تا زمان ۲۵ ثانیه تخلیه آب خنک کننده به داخل محفظه ایمنی در فاز مایع صورت می گیرد و بعد از وارد شدن به داخل محفظه ایمنی به دلیل داشتن دمای بالا و تغییر فشار (افت فشار) به حالت دو فازی تغییر می کند و با توجه به شکل ۶ از زمان ۲۵ ثانیه به بعد و بعد از تخلیه حجم بسیار زیاد آب لوله خنک کننده به محفظه تخلیه از لوله به محفظه به حالت دو فازی آغاز می شود.

در شکل ۷ تغییرات انترگالی جرم آب و بخار آب با زمان نشان داده شده است با توجه به این شکل تا ۱۰۰۰۰ ثانیه اول با در نظر گرفتن حجم آب داخل لوله خنک کننده تزریق فاز مایع به داخل محفظه صورت می گیرد ولی بعد از این زمان به حالت تک فازی بخار تخلیه صورت می گیرد برای همین نمودار بخار در زمان روند رو به رشدی را طی می کند. در شکل ۸ هم توزیع انترگالی انرژی حاصل از تخلیه آب و بخار لوله خنک کننده به داخل محفظه نشان داده شده است که ارتباط مستقیمی با تغییرات جرم آب و بخار آب تخلیه شده به محفظه دارد.

در شکل های ۹ و ۱۰ تغییرات فشار و دمای داخل محفظه ایمنی با زمان نشان داده است همانطور که از این نمودارها معلوم می باشد تا زمانی که تخلیه آب و بخار آب به داخل محفظه ادامه دارد فشار و دمای محفظه در حال افزایش می باشد ولی چون بعد از شروع حادثه سیستم های ایمنی راکتور از جمله سیستم پاشش آب در داخل محفظه ایمنی، سیستم برداشت حرارت از طریق دیواره ها و سیستم آب انباره ها با تخلیه مخازن آب (شکل ۲) بر روی دیواره بیرونی محفظه ایمنی باعث کاهش سرعت افزایش فشار و دمای داخل محفظه ایمنی می گردد ولی با این وجود چون در زمان های آغازین حادثه حجم زیادی از آب و بخار آب به داخل محفظه ایمنی تزریق

$$q_{wet} = q_{dry} + q_{cond} \quad (40)$$

که در این رابطه  $q_{wet}$  مربوط به حالت با در نظر گرفتن میعان،  $q_{dry}$  مربوط به حالت بدون میعان می باشد. با توجه به اینکه در اثر شکستن لوله آب خنک کننده و تخلیه آب با دمای بالا در محیط وسیع محفظه ایمنی و ایجاد شرایط دو فازی بلا فاصله مقداری از آب تخلیه شده تغییر فاز داده و تبدیل به بخار می شود در طول این فرایند مقداری از این بخار در بخش دیواره های محفظه ایمنی تغییر فاز داده و به صورت لایه ای از آب بر روی دیواره داخلی محفظه ایمنی قرار می گیرد (میعان) بنابراین انتقال حرارت در محفظه را بر دنباله گرفتن تاثیر میان بخار بر روی دیواره می توان مدل سازی کرد.

#### ۳- محاسبه انتقال حرارت در اثر عبور جریان هوا از دانکامر و رایز:

برای محاسبه حرارتی که هوا از بخش های دانکامر و رایز برداشت می کند از رابطه زیر استفاده می کنیم:

$$q = Ah_c (T_b - T_i) \quad (41)$$

که در این رابطه  $T_b$  دمای دیواره ای که هوا از آن عبور می کند،  $T_i$  دمای هوای عبوری و  $h_c$  ضریب جابجایی با در نظر گرفتن لایه مرزی متلاطم بر روی صفحه می باشند که [۱۱]:

$$h_c = \frac{k}{L} \left[ 0.037 Re^{4/5} Pr^{1/3} \right] \quad (42)$$

که در این رابطه  $k$  ضریب هدایتی هوا،  $L$  طول دیواره و  $Re$ ،  $Pr$  به ترتیب اعداد رینولدز و پرانتل می باشند. همچنین دبی جرمی هوای ورودی به دانکامر از رابطه زیر محاسبه می گردد:

$$\dot{m}_{air} = \rho_{air} A_{airinlets} v_{air} = 1.16 \left( \frac{kg}{m^3} \right) \times \left( 15 \times \frac{4}{572} \times \frac{1}{9812} \right) \left( m^2 \right) \times 5 \left( m/s \right) = 788.05 \left( kg/s \right) \quad (43)$$

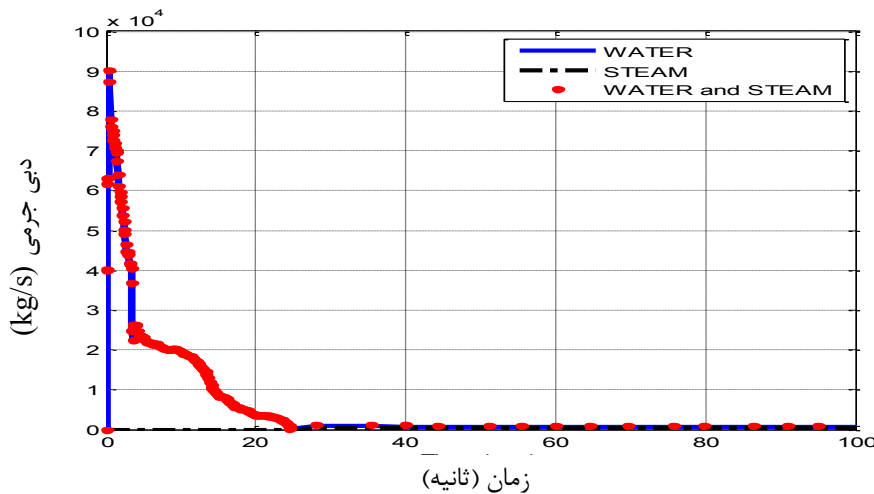
## جدول ۲: مشخصات هندسی و شرایط اولیه محفظه ایمنی راکتور ای پی ۱۰۰۰ [۱۲]

Table 2. Geometrical properties and initial conditions of the AP1000 reactor safety containment

نماد	مقدار	پارامتر
$V_{cont}$	۵۸۹۶۹/۳۶۷ (m <sup>3</sup> )	حجم محفظه ایمنی
$A_{out.cont.}$	۵۹۳۴/۸۵۶۷ (m <sup>2</sup> )	مساحت خارجی محفظه
$A_{out.conc.}$	۵۹۲۲/۱۵۵۳ (m <sup>2</sup> )	مساحت داخلی محفظه
$A_{conc.}$	۶۵۵۲/۱۳۴۶ (m <sup>2</sup> )	مساحت بتن اطراف محفظه
$A_{AirBaffle}$	۴۲۵۸/۶۵۹۵ (m <sup>2</sup> )	مساحت بافل هوایی
$A_{gap1}$	۶۱۸۳/۷۷۹ (m <sup>2</sup> )	مساحت دانکامر
$A_{gap2}$	۵۹۸۴/۷۴۵۵ (m <sup>2</sup> )	مساحت رایزر
$\delta_{cont.}$	۰/۰۴۴۴ (m)	ضخامت محفظه ایمنی
$\delta_{gap2}$	۰/۶۵۶۱ (m)	ضخامت رایزر
$\delta_{AirBaffle}$	۰/۰۱۵ (m)	ضخامت بافل هوایی
$\delta_{gap1}$	۰/۶۵۶۱ (m)	ضخامت دانکامر
$\delta_{conc.}$	۰/۹۱۴۴ (m)	ضخامت بتن
$r_{in.cont.}$	۱۹/۸۱۲ (m)	شعاع داخلی محفظه ایمنی
$r_{in.conc.}$	۲۱/۱۳۲ (m)	شعاع داخلی بتن
$T_{sat0}$	۵۰ (°C)	دماهی اولیه محفظه
$\varphi_0$	.	رطوبت اولیه محفظه
$P_{0cont.}$	۰/۱۰۸۲ (MPa)	فشار اولیه محفظه
$P_{ColdLeg}$	۱۵/۹۲۶۸ (MPa)	فشار شاخه سرد
$T_{ColdLeg}$	۲۸۰/۶۶ (°C)	دماهی شاخه سرد
$\dot{m}_{air}$	۷۸۸/۰.۵ (kg/s)	دبی هوای ورودی به دانکامر
$l$	۴۷/۸۲۰.۹ (m)	طول دیواره انتقال حرارت
$K_{AirBaffle}$	۱۶/۲۶۸۵ ( $\frac{W}{m.K}$ )	ضریب هدایتی بافل هوایی
$K_{Cont}$	۴۰/۸۴ ( $\frac{W}{m.K}$ )	ضریب هدایتی محفظه ایمنی
$K_{Concret}$	۱/۴۳ ( $\frac{W}{m.K}$ )	ضریب هدایتی بتن

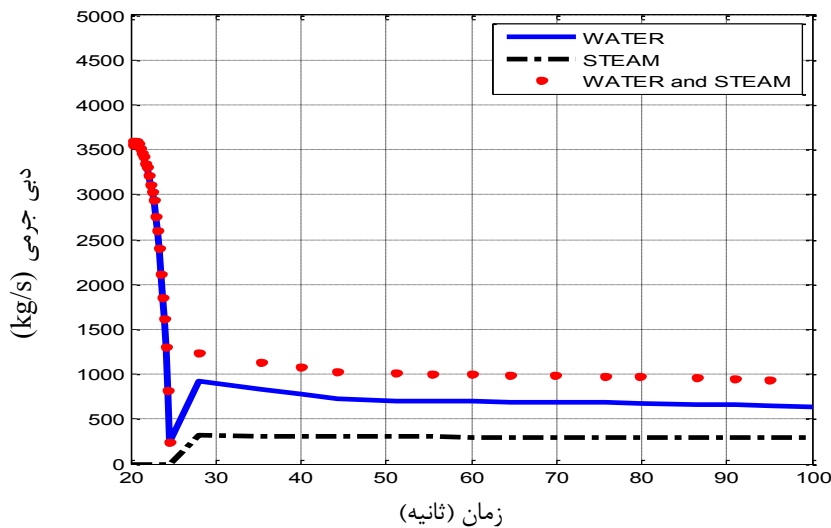
با فشار و دماهی بالا از سیستم خنک کننده به داخل محفظه ایمنی، آب تخلیه شده به دلیل افت فشار به حالت دو فازی در فضای داخل محفظه ایمنی پخش می‌شود و میزان آب موجود در فضای محفظه ایمنی افزایش پیدا کرده در نتیجه باعث افت کیفیت بخارآب در داخل محفظه می‌گردد و در ۳ ثانیه اول تغییرات افت چشمگیری دارد و در دراز مدت بعد از ۱۰۰۰۰ ثانیه به حالت پایدار می‌رسد.

می‌شود افزایش فشار و دما رشد سریعی دارند ولی بعد از گذشت مدت زمانی نرخ تزریق حالت نزولی پیدا می‌کند و سیستم‌های برداشت حرارت بر روند افزایش فشار و دماهی داخل محفظه غلبه می‌کنند و بعد از مدتی فشار و دماهی محفظه ایمنی به حالت پایدار در می‌آید. در شکل‌های ۱۱ و ۱۲ تغییرات کیفیت بخارآب داخل محفظه ایمنی با گذشت زمان نشان داده شده است همانطور که از شکل ۱۱ پیدا است بلاfacسله بعد از شروع حادثه به علت تزریق حجم زیاد آب



**Fig. 5. Distribution of inlet mass flow rate from 0 to 100 seconds**

شکل ۵: تغییرات دبی جرمی ورودی به محفظه در زمان ۰ تا ۱۰۰ ثانیه



**Fig. 6. Distribution of inlet mass flow rate from 20 to 100 seconds**

شکل ۶: تغییرات دبی جرمی ورودی به محفظه در زمان ۲۰ تا ۱۰۰ ثانیه

راکتور را نشان می‌دهد، انتقال حرارت از دیواره‌ها، رایزر و دانکامر تابع تغییرات درجه حرارت داخل محفظه اینمنی می‌باشد در نتیجه زمانی که درجه حرارت داخل محفظه زیاد می‌گردد انتقال حرارت نیز افزایش می‌یابد. موضوع مهم دیگری که تاثیر بسزایی در کاهش فشار و دمای داخل محفظه اینمنی راکتور ای‌بی ۱۰۰۰ دارد لحظه سیستم اینمنی پاشش آب سرد به داخل محفظه اینمنی در موقع حادثه می‌باشد که با پاشش آب به هواي داخل محفظه باعث ایجاد تغییر فاز بخار آب موجود در فضای محفظه به حالت مایع (میعان) می‌شود که این امر منجر به کاهش فشار و دمای داخل محفظه اینمنی می‌گردد.

## ۵- نتیجه‌گیری:

با مقایسه نتایج به دست آمده از مدل‌سازی تک‌حجمی محفظه اینمنی برای حادثه وارد شدن آب خنک‌کننده به داخل محفظه اینمنی در اثر شکسته شدن شاخه سرد خنک‌کننده در حالت دو فازی توسط نرم‌افزار متلب ۲۰۱۶ [۱۵] با نتایج موجود [۱۶] ملاحظه می‌گردد که این مدل‌سازی قابل قبول می‌باشد. در حالت بدون انتقال حرارت از دیواره‌ها و دو بخش رایزر و دانکامر فشار و دما بالاتر از فشار و دمای طراحی برای راکتور می‌باشد ولی در حالت با در نظر گرفتن انتقال حرارت فشار و دما افت پیدا کرده و به فشار و دمای طراحی نزدیک می‌گردند پس در نتیجه این موضوع مهم بودن انتقال حرارت در این

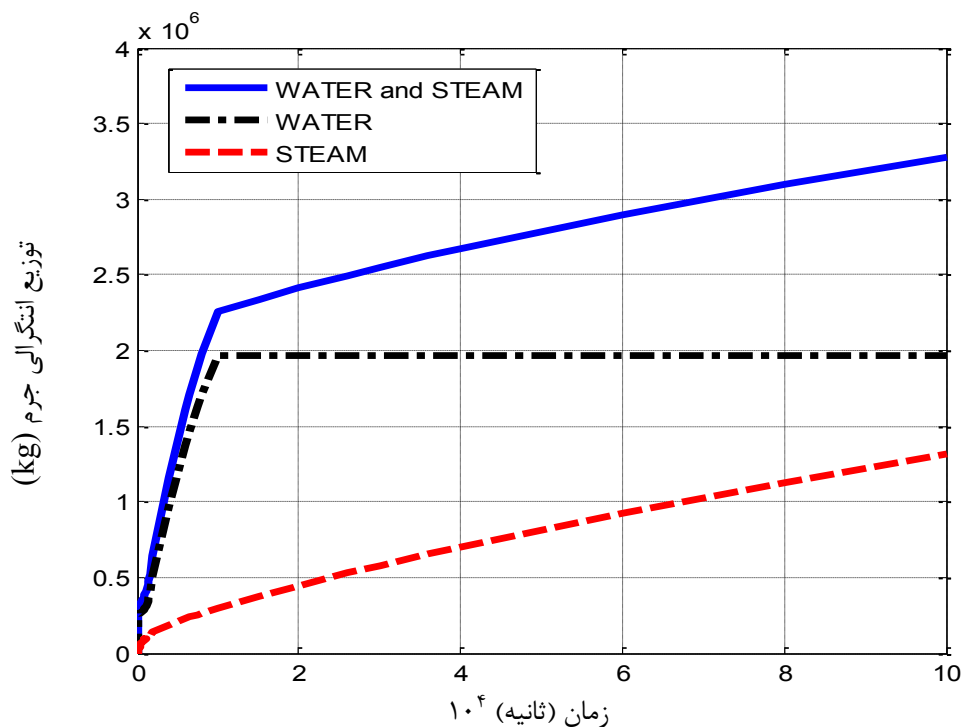


Fig. 7. Integral distribution of water and vapor mass discharged into the containment over time

شکل ۷: توزیع انتگرالی جرم آب و بخار تخلیه شده به درون محفظه با زمان

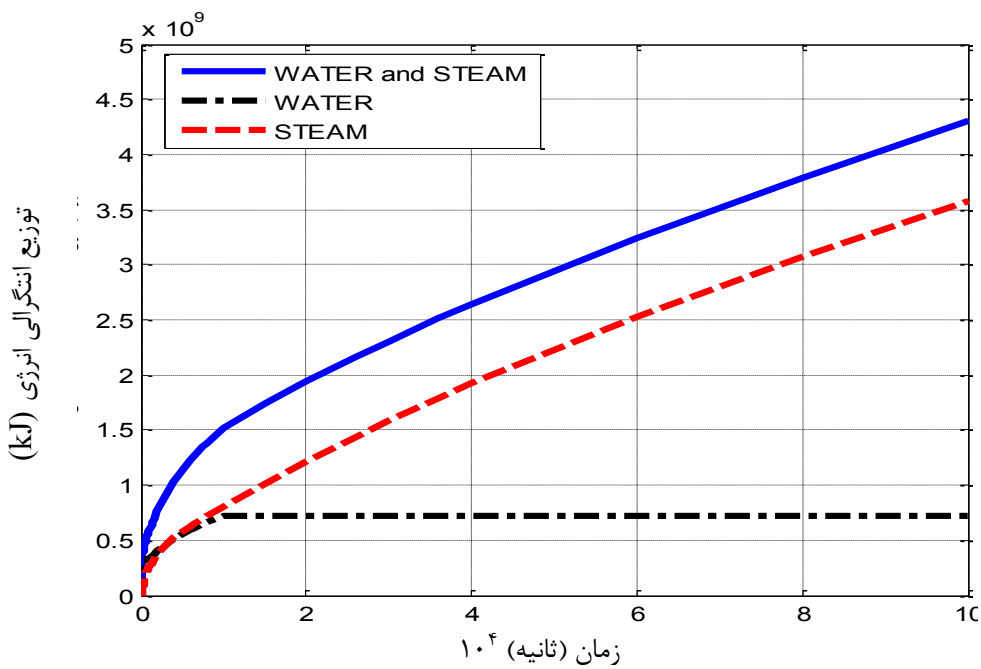


Fig. 8. Integral distribution of water and vapor energy discharged into the containment over time

شکل ۸: توزیع انتگرالی انرژی آب و بخار تخلیه شده به درون محفظه با زمان

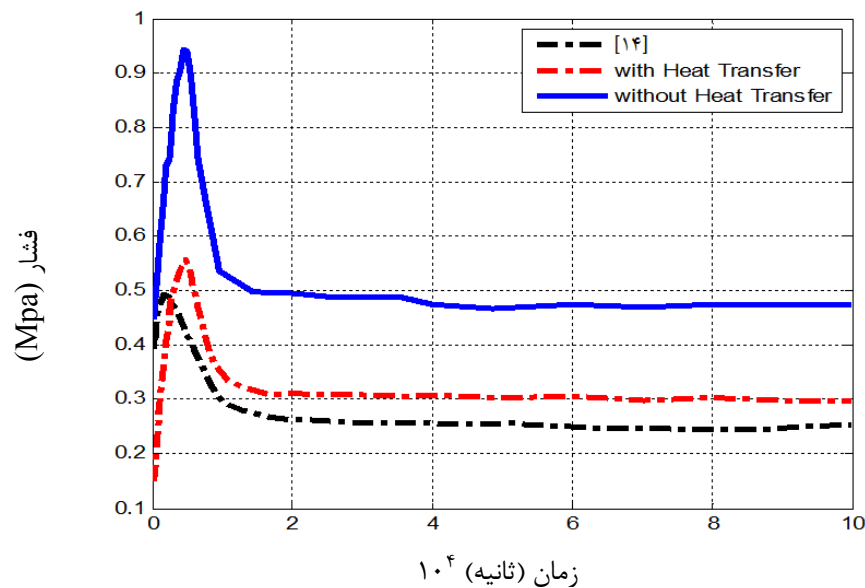


Fig. 9. Time variations of pressure (with heat transfer and without heat transfer) and comparison with the available results

شکل ۹: تغییرات فشار با انتقال حرارت و بدون انتقال حرارت و مقایسه با نتایج موجود با زمان

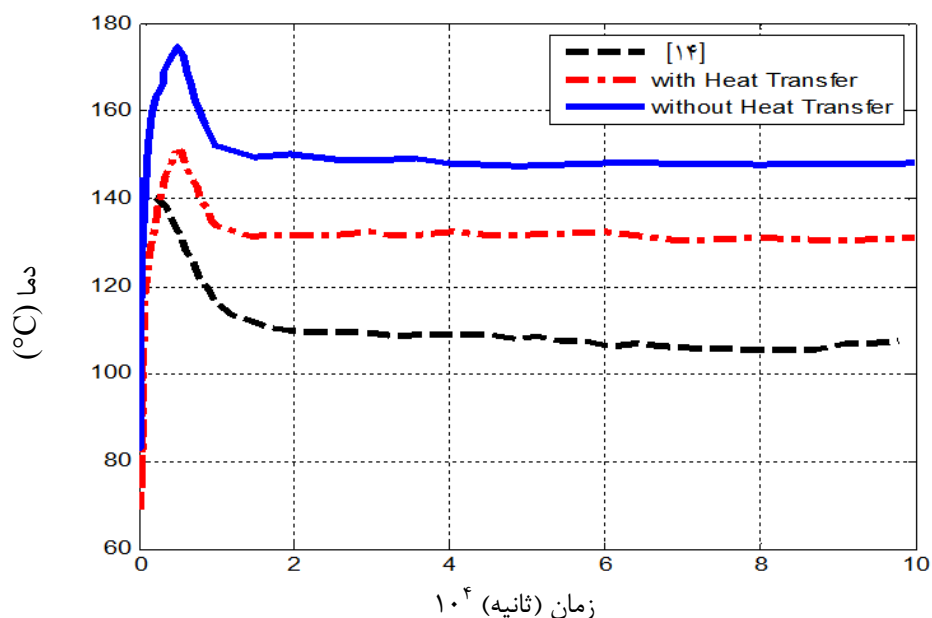


Fig. 10. Time variations of Temperature (with heat transfer and without heat transfer) and comparison with the available results

شکل ۱۰: تغییرات دما با انتقال حرارت و بدون انتقال حرارت و مقایسه با نتایج موجود با زمان

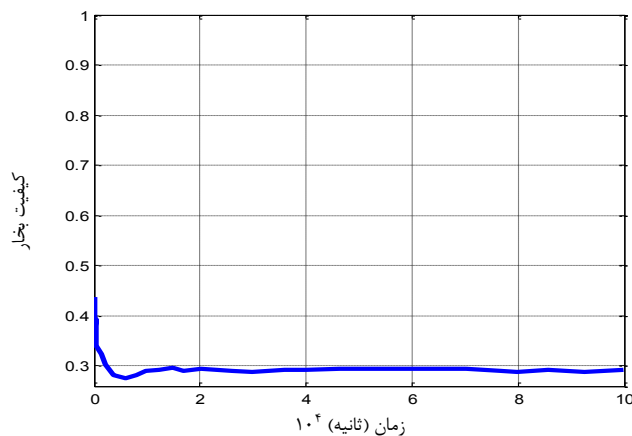


Fig. 12. Time variation of quality changes

شکل ۱۲: تغییرات کیفیت بخار با زمان

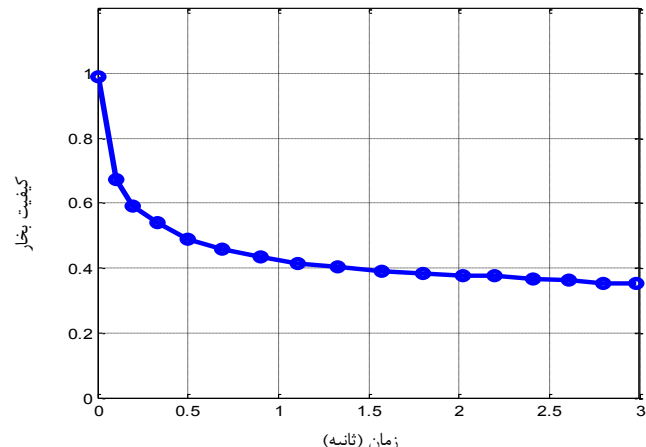


Fig. 11. Quality changes in the first 3 seconds after the accident

شکل ۱۱: نمودار تغییرات کیفیت در ۳ ثانیه اول بعد از حادث

جدول ۳: مقایسه نتایج حاصل از شبیه‌سازی با مرجع [۱۴]

Table 3. Comparison of simulation results with available reference

حداده از دست دادن خنک‌کننده	نتایج حاصل از مرجع [۱۴]	حداده از دست دادن خنک‌کننده	نتایج حاصل از مرجع [۱۴]	اختلاف دمای مطلق مدل با مرجع [۱۴]	اختلاف دمای فشار مطلق مدل با مرجع [۱۴]	اختلاف دمای فشار مطلق مدل با مرجع [۱۴]	درصد خطا نسبی دما با مرجع [۱۴]
---	---	---	---	---	140/5	0/49	[۱۴]
---	۹/۵	---	150	0/۰۹۶۵	0/۵۸۶۵	در صد ثانیه اول بدن انتقال حرارت	
---	۲۹/۵	---	111	0/۲۳۵۶	0/۲۵۴۴	در صد ثانیه اول با انتقال حرارت	
---	۳۳/۵	---	174	0/۴۵۱۱	0/۹۴۱۱	در دراز مدت بدون انتقال حرارت	
٪ ۶/۹	10/۵	٪ ۱۱	151	0/۰۶۳۱	0/۵۵۳۱	در دراز مدت با انتقال حرارت	

عدد گرashf	$Gr$	فهرست علائم
عدد ناسلت	$Nu$	علائم انگلیسی
عدد رایلی	$Ra$	
kg/s . m	$m$	$m^2$ مساحت, $A$
انتقال حرارت, W	$Q$	$m^3$ , $V$ حجم,
انرژی داخلی, J	$U$	$Pa$ , $P$ فشار,
J/kg.°C	$C$	°C دمای, $T$
N.s/m²	$\mu$	ضریب هدایت حرارتی, $K$
ویسکوزیته, $\mu$		ضریب هدایت جابجایی, $h$
علائم یونانی		$m$ , $r$ شعاع,
kg/m³ چگالی, $\rho$		$m$ , $l$ طول,
رطوبت نسبی	$\varphi$	عدد پرانتل, $Pr$

with SCDAP/RELAP 4.0 cod, Journal of Nuclear Science and Technology, 54(2017) 969-976..

m/s سرعت،  $v$

### زیرنویس

هوای air

محفظه اینمی cont

داخل in

خارج out

بتن conc

آب تخلیه شده به محفظه

wpd

آب باقیمانده در لوله

wpr

ساختر st

سیال f

بخار g

داخلی Inner

خارجی Outer

محیط amb

فضای مابین gap

دیواره wall

### بالانویس

شرایط مرجع \*

زمان t

باشه زمانی  $t\Delta$

### منابع

- [5] Eltayeb Yousif, Zhijian Zhang, Zhaofei Tian, and Hao-ran Ju, Simulation and Analysis of Small Break LOCA for AP1000 Using RELAP5-MV and Its Comparison with NOTRUMP Code, Science and Technology of Nuclear Installations, 45(2017) 13.
- [6] Sh. Sheykhi, S. Talebi, M. Soroush, E. Masoumi, Thermal-hydraulic and stress analysis of AP1000 reactor containment during LOCA in dry cooling mode, Nuclear Science and Techniques, 73(2017) 13.
- [7] J. Yang, W. W. Wang, S. Z. Qiu, W. X. Tian, G. H. Su, and Y. W. Wu, Simulation and analysis on 10-in. cold leg small break LOCA for AP1000, Annals of Nuclear Energy, 46(2012) 81-89.
- [8] L. L. Zheng Limin, Analysis of reactor coolant system leak for AP1000 nuclear power plant, Nuclear Techniques, 39(2016) 9.
- [9] Omid Noori-Kalkhoran, Amir Saied Shirani, Rohollah Ahangari, Simulation Of Containment Pressurization In A Large Break-Loss Of Coolant Accident Using Single-Cell and Multicell Models and CONTAIN Code, Nuclear Engineering and Technology, 48(2016) 1140-1153.
- [10] Neil E. Todreas, Mujid S. Kazimi, NUCLEAR SYSTEMS 1 Thermal Hydraulic Fundamentals, Massachusetts Institute of Technology, HEMISPHERE PUBLISHING CORPORATION 1990, Chapter 7, (2007) 239.
- [11] F.P. Incropera, D.P. DeWitt, Fundamentals of Heat Transfer, Wiley, Hoboken, NJ, (1981).
- [12] Omid Noori-Kalkhoran, Mohammad Rahgoshay, Abdolhamid Minuchehr, Amir Saied Shirani, Analysis of thermal-hydraulic parameters of WWER-1000 containment in a large break LOCA, Annals of Nuclear Energy, 68(2014) 101-111.
- [13] UK AP1000 Safety, Security, and Environmental Report, Chapter 3, 8-122, (2007) 3.
- [14] UK AP1000 Safety, Security and Environmental Report, Chapter 6, Section LOCA, DECL, (2007).
- [15] Matlab-2016a. Mathworks Company, March (2016).

- [1] UK Compliance document for AP1000 design, Section A UK safety case Overview, A.2 AP1000 safety philosophy, A 50, (2007).
- [2] The Westinghouse AP1000 Advanced Nuclear Plant, Plant Description, Copyright 2003, Westinghouse Electric Co., LLC., (2007) 17.
- [3] UK AP1000 Safety, Security, and Environmental Report, Chapter 6, 6.2.2.2.3 Component Description, (2007) 2-18.
- [4] Heng Xie, Numerical simulation of AP1000 LBLOCA

برای ارجاع به این مقاله از عبارت زیر استفاده کنید:

M. M. Sadeghiazad, F. Choobdar Rahim, TInvestigation of Thermo-Hydraulic Parameters of Reactor Containment due to Cold-Leg Break Accident, Amirkabir J. Mech Eng., 53(3) (2021) 1591-1606.

DOI: [10.22060/mej.2020.17084.6509](https://doi.org/10.22060/mej.2020.17084.6509)



